



Desenvolvimento de uma metodologia para determinação da estereoquímica dos alcaloides piperidínicos de *Senna spectabilis* (Fabaceae)

Isabela L. Cytrângolo¹* (PG); Amanda D. Pivatto¹ (PQ); Marcos Pivatto¹ (PQ)

*isabela.cytrangolo@ufu.br

¹Núcleo de Pesquisa em Compostos Bioativos (NPCBio), Instituto de Química, Universidade Federal de Uberlândia, Uberlândia, MG, Brasil, 38.400-902.

RESUMO

Senna spectabilis é utilizada na medicina tradicional e apresenta comprovada atividade biológica, rica em alcaloides piperidinicos quirais tem como metabólitos majoritários a (-)-cassina (1) e (-)-espectalina (2). Nesse sentido se faz necessário estudos mais aprofundados para compreender a estereoquímica destes compostos. Para isso foi desenvolvida uma metodologia utilizando o (S)-naproxeno (3a) como reagente de derivatização quiral (RDQ), juntamente com análises computacionais baseadas na dinâmica molecular de Born-Oppenheimer. A análise dos resultados teóricos, como energias livre de Gibbs, mostram que as conformações mais estáveis de cada uma das moléculas, estão de acordo com dados da literatura. Assim, os compostos 1, 2 e 3a foram obtidos e os ésteres de Mosher foram preparados, tendo suas estruturas confirmadas por espectrometria de massas e ressonância magnética núclear.

Palavras-chave: Senna spectabilis, estereoquímica, ésteres de Mosher, conformação, quiral.

Introdução

No decorrer da história humana, os produtos naturais se fizeram presentes nas civilizações e foram fundamentais para a evolução da sociedade, principalmente devido aos princípios ativos. Nesse sentido, Senna spectabilis, uma árvore presente no Cerrado brasileiro, vêm sendo estudada e tem comprovada atividade biológica como antimalárico [1], anti-chikungunya [2] e como inibidor de acetilcolinesterase, importante enzima relacionada a doença de Alzheimer [3]. Estas atividades são frequentemente associadas aos alcaloides quirais (-)-cassina (1) e (-)-espectalina (2), presentes na planta. Nesse sentido, a quiralidade dos compostos orgânicos é um importante fator a ser considerado ao longo do desenvolvimento de fármacos, uma vez que é uma característica capaz de determinar propriedades químicas, físicas e biológicas. A atividade biológica de compostos quirais está relacionada à estereoespecificidade dos receptores biológicos, sendo que a mudança na estereoquímica de um centro estereogênico pode resultar na modificação da resposta biológica [4]. Desse modo, para explorar de forma segura os metabólitos de S. spectabilis, é necessário a compreensão da estereoquímica relativa e absoluta dos centros estereogênicos dos alcaloides piperidínicos. Estudos anteriores sobre a estereoquímica destes alcaloides foram baseados em análises de infravermelho (IV) e de difração de raio X, sendo que essas técnicas não são adequadas para a análise destes compostos [5]. Sendo assim, este estudo visa o desenvolvimento de uma metodologia para determinação da estereoquímica dos alcaloides piperidínicos quirais presentes nas flores de S. spectabilis utilizando o (S)-naproxeno (3a), que é um fármaco enantioméricamente puro, como reagente de derivatização quiral

(RDQ), para a determinação da estereoquímica dos centros estrereogênicos de 1 e 2, através das análises de ressonância magnética nuclear de hidrogênio e carbono (RMN ¹H e ¹³C) dos ésteres de Mosher sintetizados. Uma etapa importante no desenvolvimento da metodologia é a análise conformacional e a predição da(s) conformação(ões) preferenciais do éster de Mosher formado, para definir a posição do anel naftílico, que é responsável pelos efeitos anisotrópicos de proteção e/ou desproteção que permitem a atribuição da estereoquímica absoluta. Deste modo, os estudos teóricos através da química computacional e cálculos de dinâmica molecular (DM), são ferramentas importantes e podem ser utilizados para simular o comportamento das moléculas em diferentes solventes, analisando principais conformações prevendo moleculares [6].

Experimental

Cálculos de dinâmica molecular (DM)

A dinâmica do sistema foi simulada usando a Dinâmica Molecular de Born-Oppenheimer (DMBO), a qual foi conduzida no xTB, empregando o método GBSA para solvente implícito de clorofórmio e parâmetros semi-empíricos GFN2-xTB. O sistema inicial foi otimizado em energia e subsequentemente submetido a trajetórias de 200 ps, com passo de integração de 0,5 fs, mantendo temperatura de 298 K via termostato de Berendsen. Após o término das trajetórias, as conformações foram ponderadas pela distribuição de Boltzmann, considerando ΔG calculados internamente pelo xTB.

Preparo dos ésteres de Mosher

Os alcaloides 1 e 2 foram isolados a partir das flores de S. spectabilis, já o (S)-naproxeno (3a) foi extraído dos





medicamentos e racemizado em meio ácido utilizando anidrido acético. Em seguida os ésteres de Mosher foram sintetizados conforme reação de Steglich e as estruturas confirmadas por EM e RMN. Na sequência, serão feitas análises para observar os efeitos anisotrópicos do RDQ para determinação da esteroquímica absoluta dos centros estereogênicos de 1 e 2 (Fig. 1).

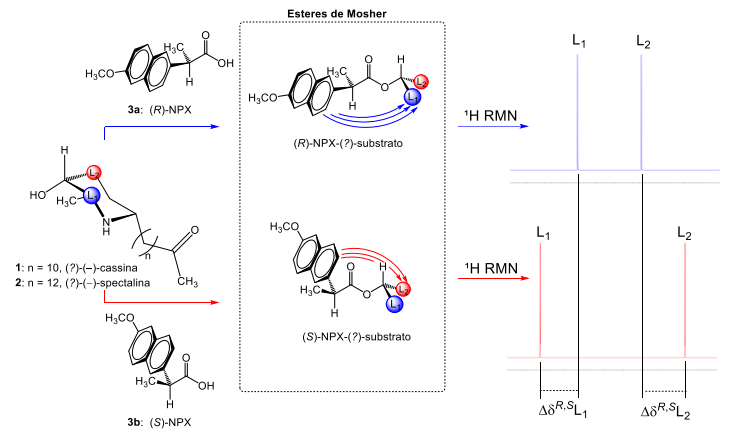


Figura 1. Método da dupla derivatização utilizando **3** como RDQ na determinação da configuração absoluta de **1** e **2**.

Resultados e Discussão

Os alcaloides 1 (212,6 mg) e 2 (90,2 mg) foram obtidos a partir do extrato etanólico das flores de S. spectabilis (100,0 g), através da extração líquido-líquido, de onde foi obtida a fração alcaloidica (CH₂Cl₂) (1,4 g), que foi submetida a cromatografía em coluna (CC) e cromatografia a líquido de alta eficiência (CLAE). O (S)-naproxeno (3a) (3,7 g), utilizado como RDQ, foi extraído a partir de fármacos que são comercializados nas fármácias na forma enantiomericamente pura. Foram utilizados dez comprimidos contendo 5,0 g de 3a, que foram triturados e submetidos a extração ácido-base. Os produtos foram analisados por CCD e caracterizados por espectrometria de massas com ionização por eletrospray (EM-IES), RMN e análises polarimetricas. A síntese do éster de Mosher foi realizada a partir da reação entre 1 e 3a para obtenção do éster (S)-naproxeno-(?)-cassina (4a), sendo possível acompanhar a formação do produto (R_f 0,86) por CCD, a partir da visualização da absorção de luz pelo grupo cromóforo (naftil), quando feita a inspeção sob luz UV254 nm e também utilizando o revelador iodocloroplatinado (Fig. 2), e confirmar por EM (m/z 510,3558 $[M + H]^+$, calculado. para $C_{32}H_{48}NO_4^+$, 510,3578 (Δ –3,9 ppm). Também foram realizados estudos computacionais para avaliar as conformações de menor energia dos alcaloides derivatizados 4a e 4b e com isso contribuir para o estabelecimento das posições dos substituintes no núcleo piperidínico e compreender os efeitos anisotrópicos gerados por cada RDQ (R ou S). Assim, na projeção de Newman, no conformero mais estável, ap $(\Lambda \approx 180^{\circ})$, de **4a** é possível observar que o grupo naftil do

(S)-NPX está espacialmente próximo ao grupo L_2 (Fig. 3), o que deve gerar um efeito de proteção, deslocando o sinal de δ_H para a direita, no espectro de RMN 1H , devido ao cone de proteção gerado pelo grupo naftil do RDQ. Da mesma maneira, os cálculos também indicam que o efeito de proteção gerado pelo (R)-NPX (3b) deve ser sobre o substituinte L_1 (Fig. 2).

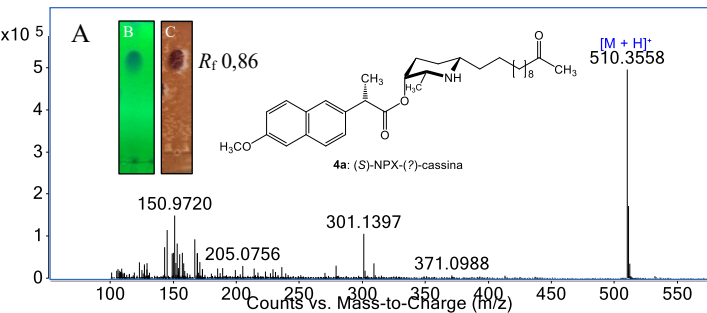


Figura 2. EM-IES-(+) do éster de Mosher (4a) (A); CCDs: inspeção em luz UV254 nm (B) e com revelador IClPt (C).

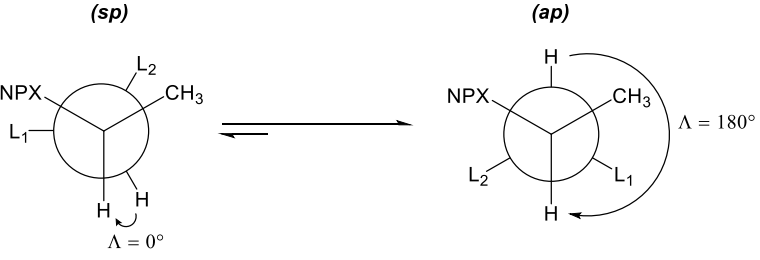


Figura 3. Representações de **4a**: Projeção de Newman e forma tridimensional mostrando o ângulo diedro (Λ) entre os hidrogênios do carbono assimétrico do naproxeno e do *C-3 do alcaloide (1) nas conformações simperiplanar (sp) e antiperiplanar (ap).

Conclusões

Os compostos 1, 2 e 3a foram isolados/purificados por técnicas cromatográficas e caracterizados por EM e RMN, assim como o éster de Mosher 4a. Os dados computacionais de DM apresentaram resultados próximos aos estimados, auxiliando na determinação da conformação mais estável de 4a, mostrando que a metodologia em desenvolvimento é eficiênte, sendo possível utilizar 3a/3b como RDQ.

Agradecimentos

À FAPEMIG, CNPq, CAPES e INCT-BioNat pelo auxílio à pesquisa e bolsas concedidas.

Referências

- 1. Pivatto, M. et al. J. Braz. Chem. Soc. 25, 2014, 1900.
- 2. Freitas, T. R. et al. Pharmacol. Rep. 74, 2022, 752.
- 3. Freitas, T. R. *et al.* Rapid Commun. Mass Spectrom. 32, **2018**, 1303.
- 4. Hamidi, S. et al. Pharm. Sci. 21, 2015, 229.
- 5. Highet, R. J. J. Org. Chem. 29, 1964, 471.
- 6. Schlick, T. Springer. 82, 1996, 219.